

## شبیه‌سازی - بهینه‌سازی منابع آب، با هدف حداقل‌سازی عدم تأمین نیازها و حداقل‌سازی برداشت از منابع آب‌های زیرزمینی (مطالعه موردی: حوضه زاهدان)

محمد عرفانیان ظروفی<sup>۱</sup>، سید آرمان هاشمی منفرد<sup>۲\*</sup>، عبدالرضا صمیمی<sup>۳</sup>، بهاره پیرزاده<sup>۴</sup>

۱. دانشجوی کارشناسی ارشد مهندسی و مدیریت منابع آب، دانشگاه سیستان و بلوچستان

۲. دانشیار گروه مهندسی عمران، دانشکده مهندسی، دانشگاه سیستان و بلوچستان

۳. استاد گروه مهندسی شیمی، دانشکده مهندسی، دانشگاه سیستان و بلوچستان

۴. استادیار گروه مهندسی عمران، دانشکده مهندسی، دانشگاه سیستان و بلوچستان

(تاریخ دریافت ۱۳۹۷/۰۸/۲۹؛ تاریخ تصویب ۱۳۹۸/۰۱/۲۹)

### چکیده

هدف از انجام پژوهش حاضر، شبیه‌سازی و بهینه‌سازی بهره‌برداری از منابع آبی شهرستان زاهدان طی ۲۰ سال آینده تحت سناریوهای مختلف مدیریتی است. برای رسیدن به شرایط بهینه قطعی در این مسئله، حداقل‌سازی عدم تأمین نیازها و حداقل‌سازی برداشت از منابع آب زیرزمینی در قالب یک هدف و با استفاده از الگوریتم تک‌هدفه PSO بررسی شد. پس از ورود اطلاعات و صحت‌سنجی مدل شبیه‌ساز، پنج سناریو تعریف شده و نتایج به دست آمده از اجرای این سناریوها با یکدیگر مقایسه شد. نتایج تحقیق حاضر نشان داد در سناریوی مرتع با افزایش جمعیت، در سال‌های پایانی دوره شبیه‌سازی با تنش آبی مواجه خواهیم بود. سناریوی دوم، با تخصیص پساب تصفیه شده به مصارف صنعتی و فضای سبز، این نیازها به طور کامل تأمین شد. در سناریوی سوم با فرض بهره‌برداری از خط دوم انتقال آب از چاه نیمه، نیازهای شرب، صنعت و محیط زیست به طور کامل تأمین خواهند شد. در سناریوی بهینه متوسط تأمین نیازهای شرب در ماههای مرداد، تیر، خرداد و شهریور به ترتیب به میزان ۴/۱۹، ۳/۳۹، ۳/۲۱ و ۱/۲۰ درصد افزایش یافت. نتایج نشان داد این الگوریتم بهینه‌سازی به خوبی توانسته است شکست‌ها را کاهش دهد. درنهایت، سناریوی ایده‌آل با ترکیب سناریوهای دوم و سوم و بر اساس مقادیر بهینه برداشت از منبع آب زیرزمینی تعریف شد. در این سناریو نیازهای شرب، صنعت و فضای سبز به صورت کامل و نیاز کشاورزی بیش از ۹۵ درصد تأمین می‌شود. همچنین، میزان برداشت از منابع آب زیرزمینی در سناریوی بهینه و ایده‌آل به ترتیب ۴/۹۵ و ۱۷ درصد نسبت به سناریوی مرتع کاهش یافت.

**کلیدواژگان:** الگوریتم PSO، بهره‌برداری تلفیقی، بهینه‌سازی، شبیه‌سازی، منابع آب، WEAP.

مطالعات بسیاری در زمینه استفاده هم‌زمان از مدل‌های شبیه‌ساز بهینه‌ساز صورت گرفته است که به اختصار می‌توان به چند مورد اشاره کرد: نبی‌نژاد و موسوی الگوریتم بهینه‌سازی PSO و مدل تخصیص منابع آب MODSIM، رویکرد شبیه‌سازی- بهینه‌سازی برای مدل‌سازی مسئله تخصیص منابع آب حوضه‌ای را توسعه دادند. مدل پیشنهادی آنها برای رودخانه اترک واسنجی شد. نتایج پژوهش آنها نشان داد مدل یادشده قابلیت ارائه جواب‌های بهینه با در نظر گرفتن معیارهای کارایی و عدالت در تخصیص آب را دارد [۵]. تقيان و همکارانش برای رسیدن به بهره‌برداری بهینه از سیستم چندمنظوره در جنوب ایران، از یک مدل ترکیبی شامل الگوریتم ژنتیک ساده و یک برنامه شبیه‌سازی استفاده کردند. نتایج پژوهش آنها نشان داد مدل عملکرد خوبی در استخراج مطلوب برای عملیات مخزن در شرایط نرمال و خشک‌سالی دارد [۶]. وانک<sup>۱</sup> و همکارانش برای بهره‌برداری بهینه از مخزن سدی در کشور چین طی دوره ۲۰۱۱-۲۰۱۴ از ترکیب مدل شبیه‌ساز WEAP<sup>۲</sup> و الگوریتم طبیعی NSGA-II استفاده کردند. تابع هدف در تحقیق وانک و همکارانش حداقل‌سازی کمبود و خداکثرسازی تولید برق در سد یادشده بود. نتایج پژوهش آنها نشان داد با بهینه‌سازی می‌توان تا حدود زیادی اهداف مد نظر را تأمین کرد [۷]. فائو<sup>۳</sup> و همکارانش با استفاده ترکیبی از الگوریتم ژنتیک و مدل شبیه‌ساز WEAP اقدام به بهینه‌سازی بهره‌برداری مخزن سد بورا در کشور غنا کردند. نتایج پژوهش آنها نشان داد نیاز بخش کشاورزی به طور مناسبی تأمین می‌شود. همچنین، فائو و همکارانش حداقل و حداقل ذخیره مخزن را برای فصل‌های مختلف به دست آورند [۸]. برای استخراج سیاست‌های بهینه بهره‌برداری از سیستم‌های چندمخزنی، اعمال اهداف چندگانه متقاض به صورت هم‌زمان، اهمیت بسیار زیادی دارد. احمدیان فر و همکارانش به این منظور، نوعی مدل بهینه‌سازی چنددهفه شامل اهداف کشاورزی و زیستمحیطی در یک سیستم سه‌سالی منابع آب ارائه کردند. به این منظور، برای کاهش شاخص کمبود آب و تأمین اهداف مد نظر طی دوره آماری ۴۸ ساله آبدھی، از تلفیق مدل شبیه‌ساز سیاست

## مقدمه

آب از مهم‌ترین منابع در توسعه کشورها و منبعی حیاتی برای هر پدیده زیستی و انسانی است. امروز، جوامع بین‌المللی از نقش و اهمیت آب برای رشد و توسعه پایدار آگاه شده‌اند. افزایش نیازهای آبی به واسطه رشد روزافون جمعیت منطقه و همچنین محدودیت شدید منابع آبی به دلیل کمبود بارش، خشک‌سالی‌های متوالی، نبود آبهای سطحی و برداشت بیش از حد از منابع آب زیرزمینی سبب افت شدید و کلی سطح آب زیرزمینی و شوری آن شده است. آبخوان دشت زاهدان از نظر بهره‌برداری وضعیت بحرانی دارد و افت سالانه آب در قسمت‌هایی که چاههای تأمین آب شرب شهر زاهدان واقع شده‌اند (جنوب غربی دشت) به بیش از یک متر می‌رسد و نه تنها امکان توسعه بهره‌برداری وجود ندارد، بلکه مقدار آب بهره‌برداری شده فعلی نیز باید کاهش یابد [۱] به دلیل کمبود منابع بهره‌برداری آب برای تأمین نیاز آب شرب شهری، در سال ۱۳۸۲ طرح انتقال آب از چاه نیمه‌های شهرستان زهک اجرا شد. با وجود بهره‌برداری آب از دو منبع آب زیرزمینی و خط آب انتقالی از چاه نیمه‌ها باز هم در فصل تابستان و پیک مصرف، شاهد کمبود و قطعی موضوعی آب در سطح شهر زاهدان هستیم. با توجه به وجود دو منبع قابل بهره‌برداری آب، بهینه‌سازی منابع موجود اهمیت زیادی در مدیریت منابع آبی و کاهش کمبود آب، بهخصوص آب شرب مصرفی در ماههای گرم سال، دارد [۲]. در سال‌های اخیر استفاده از مدل‌های برنامه‌ریزی منابع آبی به‌طور گستردگای توسعه یافته است و مورد استفاده بهره‌برداران قرار می‌گیرد. به طور کلی، این مدل‌ها به سه دسته مدل‌های شبیه‌سازی، بهینه‌سازی و ترکیب این دو تقسیم می‌شوند. هدف از اجرای مدل‌های شبیه‌سازی، پیش‌بینی رفتار سیستم و بهبود سیاست‌های بهره‌برداری است. مدل‌های شبیه‌سازی مشخص می‌کنند که اگر از یک سیاست خاص استفاده شود، طی زمان چه آثاری بر جا خواهد گذاشت و در نتیجه می‌توان آن سیاست را آزمود و آثار آن را ارزیابی کرد. بهینه‌سازی بهره‌برداری از منابع آبی، در درازمدت مورد توجه بوده و سیاستی مورد قبول است. به طور کلی، مسائل بهینه‌سازی پیچیده هستند و نمی‌توان آنها را با استفاده از روش‌های بهینه‌سازی کلاسیک حل کرد. پیچیدگی‌های مسئله و همچنین توانایی‌های یافتن جواب‌های بهتر در فضای گستته، سبب استفاده از الگوریتم‌های فرآکاوشی شده است [۳ و ۴].

1. Vonk

2. Water Evaluation and planning

3. Fowe

پژوهش آنها نشان داد الگوریتم NSGA-II بهینه‌سازی مخازن را بهبود می‌بخشد و نسبت به الگوریتم MOPSO پوشش بهتری دارد [۱۵]. سنوا و سوریان از مدل شبیه‌سازی بهینه‌سازی با هدف کنترل سیالاب و همچنین افزایش رهاسازی برای مصارف پایین دست سد گتوند در جنوب غربی ایران استفاده کردند. آنها به این منظور از اتصال مدل شبیه‌ساز MODSIM به الگوریتم رقابت استعماری استفاده کردند. متغیر تصمیم در این مسئله میزان آب ذخیره شده در مخزن سد گتوند به صورت روزانه بود. نتایج پژوهش آنها نشان داد با استفاده از این مدل و برنامه‌ریزی مناسب می‌توان آسیب‌های سیل را کاهش داد و در عین حال مطمئن شد که رهاسازی برای تقاضای آب پایین دست رضایت‌بخش باشد [۱۶]. افت سطح آب‌های زیرزمینی به دلیل افزایش جمعیت، گسترش صنایع و تغییرات اقلیمی به مشکلی جهانی تبدیل شده است. بالاولیکار<sup>۲</sup> و همکارانش با استفاده از الگوریتم ANN و مقایسه آن با مدل ترکیبی ANN-PSO برای استفاده بهینه از منابع آبی و پیش‌بینی سطح تراز آب زیرزمینی در آینده استفاده کردند. نتایج پژوهش آنها نشان داد مدل ترکیبی ANN-PSO دقیق‌تر بیشتری دارد [۱۷].

وان<sup>۳</sup> و همکارانش بهینه‌سازی بهره‌برداری از پروژه انتقال آب در کشور چین، که شامل سه مسیر انتقال و هشت مخزن ذخیره‌سازی می‌شد را بررسی کردند. با توجه به پیچیدگی‌های طرح، ساختار پیچیده انتقال آب بین حوضه‌ای و محدودیت‌های زیاد طرح برای به دست آوردن راه حل این مدل بهینه‌سازی با ابعاد بزرگ، یک مدل بهینه‌سازی پیشرفت‌هه یعنی بهینه‌سازی الگوریتم ذرات پیشرفت (PRA-PSO)، بر اساس ماهیت الگوریتم بهینه‌ساز پیش‌رونده (POA) و پارامتر ذرات استاندارد PSO ارزیابی شد. نتایج پژوهش یادشده نشان داد الگوریتم PRA-PSO در مقایسه با سایر تکنیک‌های بهینه‌سازی نتایج بسیار مثبتی ارائه می‌دهد و می‌تواند به طور مؤثری احتمال بروز نقطه‌های بهینه محلی و درنیجه، جست‌وجوی راه حل‌های بهتر را افزایش دهد [۱۸]. موسوی و همکارانش طی پژوهشی مدل شبیه‌ساز WEAP را با استفاده از برنامه‌نویسی سریع و یکپارچه خطی به الگوریتم بهینه‌سازی MOPSO متصل کردند. توابع هدف در پژوهش یادشده، به حداقل رساندن زیرساخت‌های پروژه و به حداقل

بهره‌برداری جیره‌بندی گسسته و مدل بهینه‌سازی الگوریتم ژنتیک چندهدفه با رویکرد مرتب‌سازی نامغلوب، استفاده شد. نتایج بیان کننده کارایی مؤثر این مدل در به دست آوردن جواب مطلوب بود [۹]. اشار و همکارانش از الگوریتم بهینه‌سازی جامعه مورچگان به منظور بهینه‌سازی بهره‌برداری از سد در استفاده کردند. تابع هدف در پژوهش یادشده، حداکثرسازی تأمین آب مورد نیاز و نیز حداقل‌سازی بهره‌برداری برق آبی از مخزن بود. نتایج پژوهش آنها نشان داد این الگوریتم برای بهره‌برداری بهینه از سد در مناسب است [۱۰]. لی<sup>۱</sup> و همکارانش برای بهینه‌سازی یک سیستم چندمخزنی با نیازهای متعدد مانند نیازهای زیست‌محیطی، کشاورزی و برق آبی را در حوضه رودخانه‌ای واقع در چین با استفاده از نوعی روش جدید به نام الگوریتم چندهدفه بهینه‌سازی به کار برند. الگوریتم پیشنهادی شامل خواص مؤثر الگوریتم ژنتیک و دو مکانیزم کارآمد دیگر به نام‌های یادگیری مبتنی بر مخالفت و انتخاب مبتنی بر شاخص می‌شد که به منظور افزایش سرعت همگرایی و حفظ تنوع به الگوریتم ژنتیک اضافه شده‌اند.

نتایج پژوهش یادشده نشان داد الگوریتم پیشنهادی می‌تواند جواب‌های مناسب را با سرعت زیادی به دست آورد [۱۱].

آزادنیا و زهراei با استفاده از الگوریتم PSO بهره‌برداری از مخزن سد سفیدرود را بررسی کردند. نتایج پژوهش آنها نشان داد با استفاده از الگوریتم PSO، دو هدف تأمین نیاز آب پایین دست و تخلیه رسوب نتایج به خوبی برآورده می‌شود [۱۲]. معراجی و همکارانش با استفاده از الگوریتم PSO به بهینه‌سازی ابعاد سیستم انحراف سدها بر اساس شاخص ریسک پرداختند و یک مدل ریاضی براساس شاخص ریسک، هزینه‌های ساخت و شکست سد ارائه دادند و با به کارگیری آن، ابعاد بهینه سیستم را تعیین کردند [۱۳]. خاشعی و همکارانش با استفاده از الگوریتم PSO الگوی کشت بهینه‌ای برای جلوگیری از افت تراز سفره آب زیرزمینی ارائه دادند و بیشترین برداشت از این منبع را برای سال نرمال مشخص کردند [۱۴]. علی حاجتی و همکارانش با هدف حداقل‌سازی درآمد حاصل از تولید برق، بهره‌برداری بهینه از دو مخزن ساخته شده در رودخانه اوزان را با استفاده از دو الگوریتم MOPSO و NSGA-II بررسی کردند. نتایج به دست آمده از

2. Balavalikar  
3. Wan

1. Li

استفاده از الگوریتم تک‌هدفه PSO بررسی می‌شود. همچنین، از آب‌های نامتعارف برای استفاده در بخش‌های صنعت، محیط زیست و تغذیه مصنوعی به آبخوان استفاده خواهد شد.

### روش تحقیق

در تحقیق حاضر نوعی الگوریتم تلفیقی برای استفاده بهینه از منابع آب‌های زیرزمینی و انتقالی ارائه شده است که یک مدل شبیه‌ساز و یک الگوریتم بهینه‌سازی دارد. در این بخش ابتدا مشخصات محدوده مطالعه شده، مشخصات و چگونگی کارکرد مدل شبیه‌ساز WEAP و اطلاعات و ورودی‌های مورد نیاز برای شبیه‌سازی در این مدل بیان می‌شود. در ادامه به ساختار، چگونگی کارکرد، تابع هدف و قیود الگوریتم بهینه‌ساز PSO پرداخته خواهد شد و سناریوهای اعمال شده در تحقیق حاضر بیان می‌شوند.

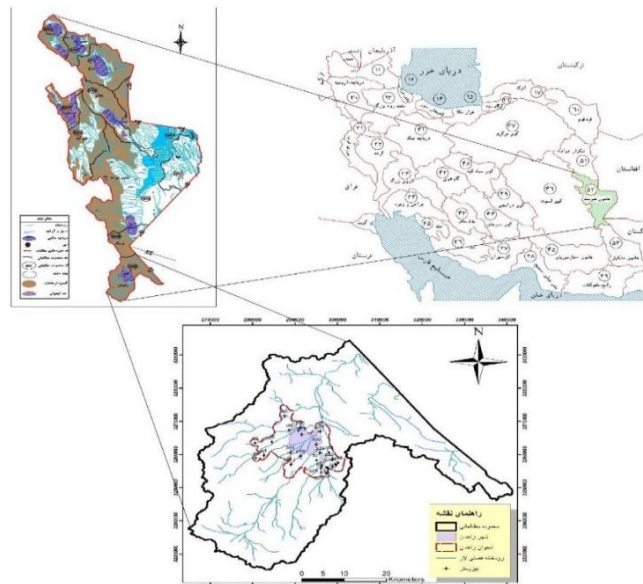
### معرفی منطقه مطالعاتی

شهرستان زاهدان یکی از کلان‌شهرهای ایران و مرکز استان سیستان و بلوچستان است. محدوده مطالعاتی زاهدان در حوضه آبریز هامون هیرمند و در جنوب آن واقع شده است. این محدوده ۲۶۱ کیلومترمربع وسعت دارد که ۲۰۲۷ کیلومترمربع آن ارتفاعات است و ۲۳۲ کیلومترمربع آن را دشت زاهدان تشکیل می‌دهد (شکل ۱).

رساندن قابلیت اطمینان تأمین آب بخش کشاورزی دشت چرام و کوه‌دشت در استان کهگیلویه و بویراحمد بود. نتایج پژوهش آنها نشان داد مدل ترکیبی MOPSO-WEAP می‌تواند در سطح اعتمادپذیری بالایی نیاز کشاورزی این دو دشت را تأمین کند [۱۵].

روش‌های مختلفی برای تخصیص بهینه منابع آبی معرفی شده‌اند که در این میان رویکرد شبیه‌سازی-بهینه‌سازی به خصوص در سال‌های اخیر مورد توجه محققان قرار گرفته است و راه حلی کارآمد برای بهره‌برداری بهینه از منابع آبی است. با توجه به تحقیقات گذشته در بهینه‌سازی تخصیص منابع آب، استفاده از الگوریتم فراکاوشی ازدحام ذرات (PSO) به دلیل ساختار ساده، پیاده‌سازی آسان، سرعت همگرایی بسیار زیاد و انعطاف‌پذیری مناسب، راهکاری مطلوب برای بهینه‌سازی تخصیص منابع آب و کاهش شکست‌ها (کمبود زیاد در ماههای گرم و تأمین کامل در ماههای سرد) به خصوص در مناطق خشک و کم‌آب است.

در تحقیقات گذشته دو هدف متضاد با دو تابع هدف بهینه‌سازی می‌شد و در نهایت مجموعه جواب‌های پارتو با عدم قطعیت‌های زیاد به عنوان جواب مسئله معرفی می‌شدند. در پژوهش حاضر برای رسیدن به نقطه بهینه قطعی، حداقل‌سازی عدم تأمین نیازها و حداقل‌سازی برداشت از منابع آب زیرزمینی در قالب یک هدف و با



شکل ۱. موقعیت جغرافیایی محدوده مطالعه شده

۳. در گام سوم سناریوها و طرح‌های قابل اجرا و محتمل در آینده که سیستم را تحت تأثیر قرار می‌دهند، تعریف می‌شوند.
۴. در گام آخر سناریوهای مختلف نسبت به تأمین نیازها، هزینه‌ها، سازگاری با اهداف و... ارزیابی می‌شوند [۲۰].
- ایجاد نقشه‌های پایه، ورود اطلاعات و صحت‌سنجی در WEAP مدل**

در تحقیق حاضر برای شبیه‌سازی و مدیریت یکپارچه منابع آبی از مدل WEAP استفاده شد. برای تهیه چارچوب اصلی مدل در نرم‌افزار WEAP در گام نخست نقشه اولیه حوضه شامل مرزهای حوضه مطالعه شده و مسیرهای رودخانه‌ای موجود توسط GIS تهیه شده و به مدل فراخوانی شدند تا به صورت نقشه پیش‌زمینه استفاده شوند. سپس، به کمک ابزارهای نرم‌افزار WEAP در بخش شماتیک، مسیر رودخانه اصلی، محل ایستگاه‌های هیدرومتری، نیازهای شرب، صنعت، کشاورزی و خطوط برگشت مربوط به هر نیاز به صورت شماتیک به معدل معرفی شدند. داده‌های اقلیمی و هواشناسی نیز شامل میزان بارندگی، متوسط تبخیر پتانسیل از سازمان آب منطقه‌ای گرفته شده و در مدل وارد شد. با توجه به تحقیقات مشابه و به منظور بررسی تأثیر سناریوهای مختلف در بلندمدت، طول دوره شبیه‌سازی را ۲۰ سال در نظر می‌گیریم. گام زمانی ماهانه در نظر گرفته می‌شود و با توجه به اینکه ماههای پیش‌فرض مدل میلادی هستند، ژانویه به عنوان نخستین ماه سال آبی (مهرماه) به مدل معرفی می‌شود. با توجه به وضعیت کویری منطقه، بارندگی و توزیع زمانی و مکانی آن بسیار متغیر و نامنظم است. به همین دلیل، در پژوهش حاضر از داده‌های اقلیمی دوره ۳۰ ساله (۱۳۶۶-۱۳۹۶) برای شبیه‌سازی استفاده شد. همچنین، با توجه به دسترسی به اطلاعات مورد نیاز شامل جمعیت، سرانه شرب شهری، سرانه فضای سبز، الگوی کشت، سطح زیر کشت، تعداد واحدهای صنعتی و منابع آبی قابل استفاده در سال ۱۳۹۴، این سال به عنوان سال پایه برای مدل در نظر گرفته شد. همچنین منابع، نیازها و مصارف برای این سال به عنوان شرایط موجود به مدل معرفی شدند. رودخانه، ایستگاه هیدرومتری، منابع، مصارف و خطوط برگشت آب در این مدل به صورت شماتیک در شکل ۲ نشان داده شده است.

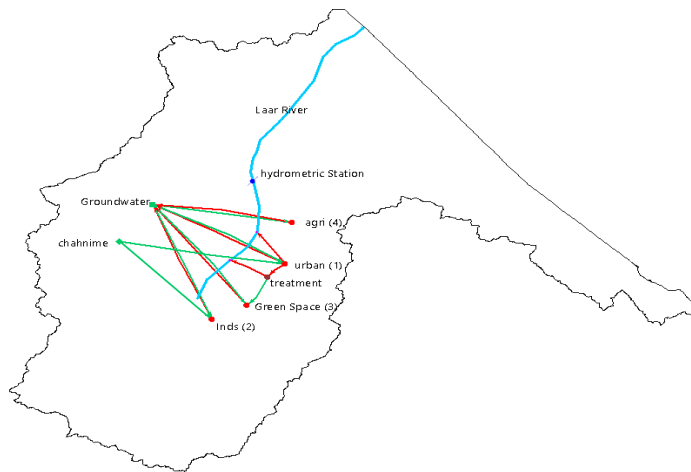
### معرفی مدل شبیه‌ساز WEAP

مدل مدیریت و ارزیابی آبی (WEAP) یک مدل جامع، کاربرپسند و انعطاف‌پذیر است که برای برنامه‌ریزی منابع آب توسعه داده شده است. مزیت اصلی WEAP، در رویکرد یکپارچه در شبیه‌سازی سیستم‌های آبی و ارزیابی تأثیر سیاست‌های مختلف است. این مدل در معادلات خود، مسائل مربوط به نیازها مانند الگوی مصرف آب، راندمان تجهیزات، استفاده مجدد، هزینه‌ها و غیره را هم‌زمان با مسائل مربوط به منابع آب شامل منابع سطحی، آب‌های زیرزمینی، مخازن و انتقال‌های آب در نظر می‌گیرد. تقاضاهای، مقادیر عرضه، جریان‌ها، مقادیر ذخیره، تولید آبودگی احتمالی را شبیه‌سازی و سیاست‌های گوناگون و گزینه‌های مدیریتی را ارزیابی می‌کند [۲۰].

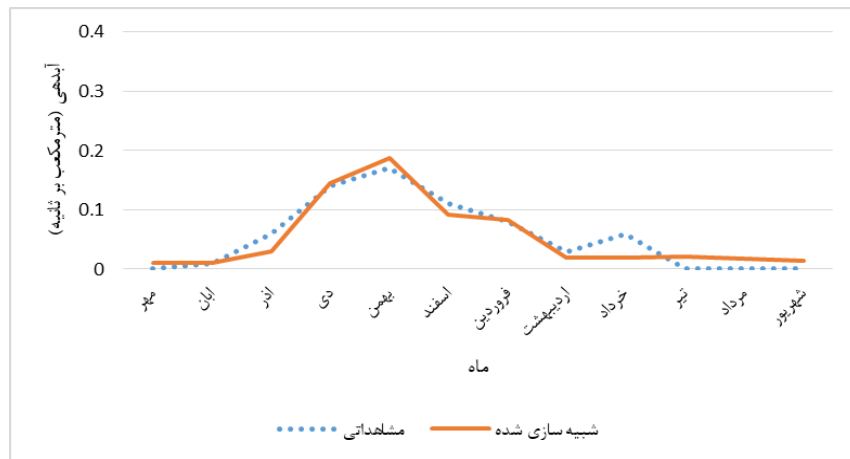
مدل WEAP براساس اصول ابتدایی موازنۀ آب عمل می‌کند و قادر به شبیه‌سازی تعداد زیادی از مؤلفه‌های سیستم حوضه‌ای مانند دبی پایه، رواناب، تغذیه آب‌های زیرزمینی، تحلیل نیازها و اولویت‌های تخصیص، انرژی برق آبی، نیازهای اکوسیستم و روندیابی پخش آبودگی و کیفیت منابع است. با توجه به نیازها و اهداف موجود، می‌توان داده‌های مد نظر و جزئیات را به سیستم معرفی کرد و نیازی به وارد کردن همه جزئیات نخواهد داشت. WEAP همچنین می‌تواند نیاز آبی، جریان‌های ورودی و خروجی، طرح‌های انتقال آب بین حوضه‌ای و غیره را شبیه‌سازی کند و از جامعیت قابل قبولی برخوردار است. WEAP مانند آزمایشگاهی عمل می‌کند و می‌توان از آن برای ارزیابی استراتژی‌های مختلف توسعه و تصمیم‌های مدیریتی استفاده کرد [۲۰ و ۲۱].

رابطه بیلان آبی اساسی‌ترین رابطه‌ای است که در محاسبات ماهانه در نظر گرفته است و با استفاده از برنامه‌ریزی خطی سعی در حداکثر کردن تأمین نیازها و حداقل جریان تعریف شده سطحی با توجه به منابع موجود، رابطه بیلان آبی و سایر قیود (آب انتقالی، حداکثر میزان برداشت زیرزمینی و...) دارد. مدل سازی شامل گام‌هایی می‌شود که عبارت‌اند از:

۱. ابتدا چارچوب‌های زمانی، مکانی و مؤلفه‌های اساسی سیستم ایجاد و مدل پیکربندی می‌شوند.
۲. در گام بعدی منابع، نیازها، کمبودها و آبودگی‌ها در وضعیت حال حاضر مدل‌سازی می‌شود.



شکل ۲. شماتیک مدل WEAP در سناریوی مرجع



شکل ۳. مقادیر مشاهداتی و شبیه‌سازی شده در محل ایستگاه هیدرومتری لار پایین

به نظر می‌رسد علت اختلاف مقادیر مشاهده شده با مقادیر شبیه‌سازی شده، رهاسازی مقداری از فاضلاب شهری زاهدان در رودخانه لار، عدم قطعیت‌ها در ثبت داده‌های هیدرومتری ایستگاه مربوطه و همچنین عدم قطعیت‌های مربوط به عوامل مؤثر در شبیه‌سازی است. به منظور بررسی آماری، مقادیر به دست آمده از شاخص بدون بعد نش<sup>1</sup> مطابق رابطه ۱ استفاده می‌شود.

$$NASH = 1 - \frac{\sum_{t=1}^n (H_t - \hat{H}_t)^2}{\sum_{t=1}^n (H_t - \bar{H}_t)^2} \quad (1)$$

در رابطه یادشده:  $H_t$ ، مقادیر مشاهداتی؛  $\hat{H}_t$ ، مقادیر شبیه‌سازی شده؛  $\bar{H}_t$ ، میانگین مقادیر مشاهداتی و  $n$ ، تعداد مشاهدات است.

1. Nash

### صحت‌سنجی مدل

برای صحت‌سنجی مدل با توجه به کمبود اطلاعات از متوسط ماهانه آمار بلندمدت مشاهداتی ایستگاه هیدرومتری رودخانه لار و مقایسه آن با داده‌های به دست آمده از مدل شبیه‌ساز استفاده شده است. با توجه به مشخص نبودن حجم ورود فاضلاب شهری به این رودخانه و همچنین رهاسازی پساب به وجود آمده از شیرین‌سازی آب زیرزمینی به این رودخانه، مقادیر شیرین‌سازی آب زیرزمینی به این رودخانه، مقادیر به دست آمده مقداری خطا دارد. شایان یادآوری است، با توجه به نبود تأسیسات ذخیره آب سطحی در منطقه به دلیل تبخیر بسیار زیاد و بارش کم، تأمین نیاز آبی در منطقه از طریق آب‌های انتقالی و آب‌های زیرزمینی صورت می‌گیرد. بنابراین، این مقادیر خطا در مدل سازی نیازها و مصارف خلی ایجاد نمی‌کند. مقادیر مشاهداتی و نیز مقادیر شبیه‌سازی شده در شکل ۳ نمایش داده شده‌اند.

تعرق مرجع توصیه شده است [۲۳ و ۲۴]. با توجه به نوع آبیاری در منطقه مطالعه شده (استفاده از روش‌های آبیاری قطره‌ای و کرتی) میزان آبیاری ۵۰ درصد در نظر گرفته شد و مجموع نیاز سالانه در بخش کشاورزی ۶۹/۷۱ میلیون مترمکعب برآورد شد.

سرانه فضای سبز برای منطقه مطالعه شده حدود یک مترمربع برای هر نفر است. همچنین، میزان حداکثر نیاز فضای سبز بر اساس استاندارد صنعت آب کشور، برای مناطق خشک بین ۱۴-۸ لیتر به ازای هر مترمربع است. در پژوهش حاضر این مقدار ۸ لیتر به ازای هر مترمربع در نظر گرفته شد. همچنین، با توجه به جمعیت شهر زاهدان در سال ۱۳۹۴، مقدار نیاز سالانه فضای سبز ۱/۸۷۳ میلیون مترمکعب در نظر گرفته شد.

تعداد واحدهای صنعتی در حال فعالیت در شهرستان زاهدان در مجموع ۳۱۹ واحد است. با توجه به نبود اطلاعات کافی از ترکیب واحدهای صنعتی در حال فعالیت از میانگین مقادیر واحدهای صنعتی مختلف استفاده می‌کنیم. این مقدار ۶/۱۷۵ مترمکعب در روز به ازای هر واحد صنعتی در نظر گرفته می‌شود [۲۵]. با در نظر گرفتن تلفات به مقدار ۲۲/۳ درصد میزان نیاز واحدهای صنعتی فعال ۰/۸۷ میلیون مترمکعب محاسبه می‌شود. با توجه به نبود اطلاعات کافی از میزان فضای سبز موجود در شهرک‌های صنعتی، مساحت تقریبی فضای سبز واقع در شهرک‌های صنعتی با توجه به نقشه‌های هوایی حدود پنج هکتار در نظر گرفته شده و بر اساس بخش قبل آب مورد نیاز سالانه آن ۰/۱۴ میلیون مترمکعب و مجموع آب مورد نیاز سالانه برای بخش صنعت ۱/۰۱ میلیون مترمکعب تخمین زده می‌شود.

#### بهینه‌سازی

الگوریتم بهینه‌سازی تجمعی ذرات<sup>۲</sup> که به اختصار PSO نامیده می‌شود، برای نخستین بار توسط ابرهات<sup>۳</sup> و کندی<sup>۴</sup> به عنوان نوعی روش جستجوی غیر قطعی برای بهینه‌سازی تابعی مطرح شد. این الگوریتم از حرکت دسته‌جمعی پرندگان یا ماهی‌هایی که به دنبال غذا هستند، الهام گرفته شده است. در طبیعت گروهی از

مقدار شاخص NASH برای این مدل ۰/۸۸۷ به دست آمد که نشان‌دهنده تطابق نسبتاً مناسب مدل و داده‌های مشاهداتی است.

#### منابع آبی

منابع تأمین آب شهرستان زاهدان شامل دو منبع آب‌های زیرزمینی و آب انتقالی از چاهنیمه‌های زابل است. با توجه به اینکه هیچ‌گونه سد و بندی در منطقه وجود ندارد، حجم کل ذخیره آب‌های سطحی در این محدوده صفر است. حجم سالانه نزولات جوی در سطح محدوده مطالعه شده ۲۳۲/۸۰۰ میلیون مترمکعب بوده و حجم سالانه برداشت از منابع آب زیرزمینی معادل ۳۰/۲۴۱ میلیون مترمکعب است [۱]. خط نخست انتقال آب از چاهنیمه‌های زابل به زاهدان در سال ۱۳۸۲ به طول ۱۹۲/۳ کیلومتر و با ظرفیت ۸۵۰ لیتر بر ثانیه به بهره‌برداری رسید. همچنین، با افزایش جمعیت در سال‌های اخیر، احداث خط دوم انتقال آب از چاهنیمه‌ها به شهرستان زاهدان با هدف رفع نیازهای آبی کنونی و تأمین نیازهای شرب شهری برای افق جمعیتی سال ۱۴۲۰، در سال ۱۳۹۰ و با دبی نهایی پمپاژ ۱۶۸۰ لیتر بر ثانیه آغاز شده و در دست احداث است.

#### نیازها

سرانه مصرف شهری در شهر زاهدان برای هر نفر ۱۰۰ لیتر در روز برآورد شده است. میزان تلفات واقعی در شبکه انتقال (نشست از شبکه) ۱۸/۵ درصد، تلفات ظاهري ۳/۸ درصد و مجموع تلفات ۲۲/۳ درصد برآورد شده است [۲۲]. بر اساس اطلاعات سازمان ثبت احوال جمعیت این شهر در سال ۱۳۹۴، ۶۴۸۵۵۷ نفر بوده است و با توجه به سرشماری‌های عمومی نفووس و مسکن، میزان رشد جمعیت برای این شهر ۳/۷۰۵ محسوبه شده است.

نیاز کشاورزی برای این شهر با توجه به الگوی کشت منطقه و نیاز آبی خالص گیاهان با استفاده از روش فائو-پنم-مانتیث<sup>۱</sup> و اطلاعات اداره کل هواشناسی به دست آمد. در روش یادشده براساس تبخیر و تعرق گیاه مرجع، نیاز خالص آبیاری برای گیاه مدنظر به دست می‌آید. در حال حاضر، با توجه به نتیجه اجلاس کارشناسی سال ۱۹۹۰ میلادی فائو، روش فائو-پنم-مانتیث به عنوان تنها روش استاندارد برای تعریف و محاسبه میزان تبخیر-

2. Particle Swarm Optimization

3. Eberhart

4. Kennedy

1. The FAO Penman-Monteith Method

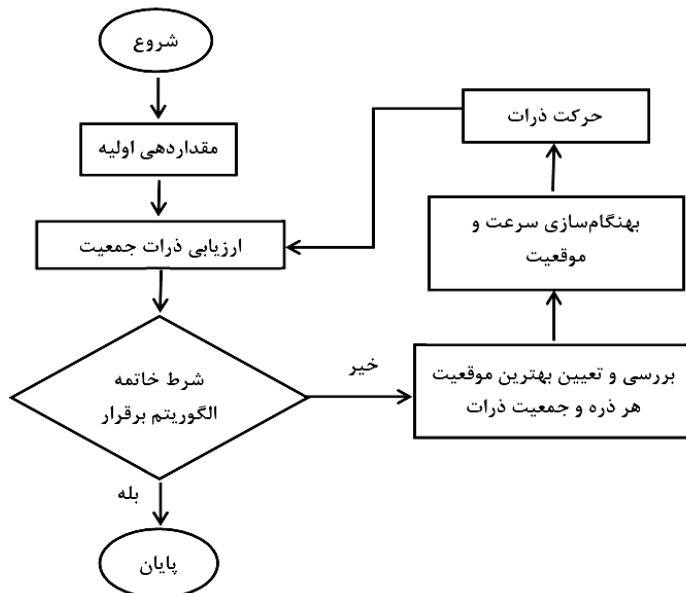
این گونه است که در هر لحظه هر ذره مکان خود را در فضای جست وجو با توجه به بهترین مکانی که در کل همسایگی اش وجود دارد و بهترین مکانی که تا کنون در آن قرار گرفته است، مقایسه می‌کند [۲۶].

در این الگوریتم هر جواب به صورت یک ذره در نظر گرفته می‌شود که در محیط مسئله در حال جست وجو بوده و حرکت آن تحت تأثیر سه عامل زیر است:

۱. موقعیت کنونی ذره؛
۲. بهترین موقعیتی که ذره تا کنون تجربه کرده است؛
۳. بهترین موقعیتی که همه ذرات به آن رسیده‌اند [۲۶].

فلوچارت این الگوریتم در شکل ۴ به تصویر درآمده است.

پرندگان یا ماهی‌ها که شناخت چندانی نسبت به محیط اطراف ندارند، حرکتشان را بر اساس حرکت گروه تنظیم می‌کنند تا بتوانند به هدف خود نائل شوند. در PSO ذرات در فضای جست وجو جاری می‌شوند و تغییر مکان ذرات در همسایگانشان است، بنابراین موقعیت دیگر توده‌های ذرات روی چگونگی جست وجوی یک ذره تأثیر می‌گذارد. نتیجه مدل‌سازی این رفتار اجتماعی فرایند جست وجویی است که ذرات به سمت نواحی موفق میل می‌کنند. ذرات از یکدیگر می‌آموزند و بر مبنای دانش به دست‌آمده به سمت بهترین همسایگان خود می‌روند. اساس کار الگوریتم PSO



شکل ۴. فلوچارت الگوریتم PSO

و در هر تکرار نیز بهترین موقعیت قبلی خودش را در حافظه‌اش حفظ کرده که با بردار  $P$  نشان داده می‌شود (رابطه ۴):

$$P_i^t = (p_{i1}^t, p_{i2}^t, \dots, p_{iD}^t) \quad (4)$$

در هر تکرار جست وجو، هر ذره با در نظر داشتن دو مقدار بهترین به روزرسانی می‌شود. نخستین بهترین مربوط به بهترین راه حلی است که ذره تا کنون آن را تجربه کرده است و به اصطلاح  $P_{best}$  نامیده می‌شود. همچنین مقدار شایستگی این راه حل نیز ذخیره می‌شود. دومین بهترین که توسط PSO دنبال می‌شود، بهترین موقعیتی است که

در PSO هر راه حل تنها یک پرنده در فضای جست وجو است و عضو یا ذره نامیده می‌شود. تمام پرندگان یک مقدار شایستگی دارند که توسط تابع شایستگی که باید بهینه شود، ارزیابی می‌شود. علاوه بر این هر پرندۀ  $n$  دارای یک موقعیت در فضای  $n$  بعدی مسئله است که در تکرار  $t$  ام، با یک بردار به صورت رابطه ۲ نمایش داده می‌شود:

$$X_i^t = (x_{i1}^t, x_{i2}^t, \dots, x_{iD}^t) \quad (2)$$

همچنین، این پرنده سرعت مشخصی دارد و در تکرار  $t$  ام با بردار زیر نشان داده می‌شود (رابطه ۳):

$$V_i^t = (v_{i1}^t, v_{i2}^t, \dots, v_{iD}^t) \quad (3)$$

حداقل سازی برداشت از آب‌های زیرزمینی به صورت یکتابع بهینه‌سازی شد. تابع هدف به صورت رابطه ۸ تعریف شد:

$$\begin{aligned} F = & \text{Minimize} \sum_{t=1}^n \sum_{d=1}^m (1 - \text{coverage}) + \\ & \text{Minimize} \sum_{t=1}^n (\text{Release from Groundwater}) = \quad (8) \\ & \text{Minimize} \left( \sum_{t=1}^n \sum_{d=1}^m \left( 1 - \frac{RT_{td}}{D_{td}} \right) + \sum_{t=1}^n \left( \frac{RG_t}{RT_t} \right) \right) \end{aligned}$$

در این رابطه:  $t$  دوره شبیه‌سازی؛  $d$  نوع نیاز؛  $RT_{td}$  حجم کل آب تخصیص داده شده برای نیاز  $d$  در دوره  $t$ ؛  $D_{td}$  حجم کل آب مورد نیاز برای نیاز  $d$  در دوره  $t$ ؛  $RG_t$  زیرزمینی در دوره  $t$  و  $RT_t$  حجم کل آب تخصیص داده شده در دوره  $t$  است.

در پژوهش حاضر سیاست‌های محتمل برای ۲۰ سال آینده در قالب پنج سناریوی بررسی خواهند شد. سناریوی نخست با فرض افزایش جمعیت و ادامه سیاست‌های مدیریتی فعلی و منابع موجود تعریف شد. سناریوی دوم با فرض افزایش ۲۰ درصدی میزان آبیاری در بخش کشاورزی (با تغییر روش آبیاری به آبیاری قطره‌ای) و همچنین استفاده از پساب تصفیه شده توسط تصفیه خانه فاضلاب شهر زاهدان، برای تأمین نیازهای فضای سبز و صنعت و همچنین تعذیله مصنوعی به آبخوان تعریف شد. سناریوی سوم برای حالت بهره‌برداری از خط دوم انتقال آب از چاهنیمه با هدف تأمین نیازهای شرب منطقه و افزایش ۲۰ درصدی سرانه مصرف تعریف شد. سناریوی چهارم با هدف بهینه‌سازی رهاسازی‌ها در سناریوی مرجع تعریف شد. درنهایت، سناریوی پنجم که به عنوان سناریوی ایده‌آل تعریف شد، با هدف بهینه‌سازی رهاسازی‌ها با ترکیب سناریوهای دوم و سوم، با در نظر گرفتن بهره‌برداری از خط دوم انتقال آب و افزایش سرانه آب مصرفی و همچنین افزایش ۲۰ درصدی میزان آبیاری در بخش کشاورزی و استفاده از پساب تصفیه شده برای نیازهای صنعت و نیازهای فعلی و توسعه چهارباری سطح فضای سبز تعریف شد.

تا کنون در جمعیت به دست آمده است. این مقدار بهینه عمومی است و به اصطلاح  $G_{best}$  نامیده می‌شود. بعد از اینکه این دو مقدار پیدا شدند، موقعیت و سرعت هر ذره توسط روابط ۵ و ۶ به روزرسانی می‌شوند:

$$\begin{aligned} V_i(t+1) = & wV_i(t) + c_1 r_{i,j}(t)(P_j(t) - \\ & X_j(t)) + c_2 r_{i,j}(t)(P_g(t) - X_i(t)) \quad (5) \end{aligned}$$

$$X_i(t+1) = X_i(t) + V_i(t+1) \quad (6)$$

در روابط یادشده  $t$  بیان کننده شماره تکرار و متغیرهای  $c_1, c_2$  فاکتورهای یادگیری هستند. اغلب  $c_1 = c_2 = 2$  است که میزان جابه‌جایی یک پرنده را در یکبار تکرار کنترل می‌کند.  $r_1, r_2$  دو عدد تصادفی یکنواخت در محدوده یک و صفر هستند.  $w$  یک وزن اینرسی است که برای کنترل تأثیر سرعت‌های قبلی در همگرایی در محدوده یک و صفر مقداردهی اولیه می‌شود. هرچه این مقدار بیشتر باشد، جستجوی کلی بیشتر خواهد شد و هرچه این مقدار کمتر باشد، جستجوی محلی افزایش خواهد یافت. مقدار  $w$  در هر تکرار مطابق رابطه ۷ تعریف می‌شود.

در رابطه ۷ وزن اینرسی در شروع جستجو،  $Iter_{max}$  وزن در انتهای جستجو،  $n$  شماره تکرار و  $PSO$  جمعیت تعداد کل تکرارها است. در الگوریتم  $PSO$  به صورت تصادفی مقداردهی اولیه می‌شود و تا رسیدن به شرط خاتمه به صورت تکراری شایستگی جمعیت محاسبه شده و مقادیر  $G_{best}$  و  $P_{best}$  به دست می‌آیند. سرعت و موقعیت نیز در هر دور به روزرسانی می‌شوند. در آخر هم  $G_{best}$  و مقدار شایستگی اش به عنوان خروجی بیان می‌شوند. شرط خاتمه می‌تواند رسیدن به حداقل تعداد نسل‌ها یا رسیدن به یک مقدار خاص شایستگی در  $G_{best}$  باشد [۲۷].

$$w = w_{max} - \frac{(w_{max} - w_{min}) \times n}{Iter_{max}} \quad (7)$$

در پروژه یادشده برای بهره‌برداری بهینه از منابع آب موجود در منطقه مطالعه شده از الگوریتم  $PSO$  یک هدفه استفاده شد. به این صورت که دو هدف مد نظر یعنی حداقل سازی عدم تأمین نیازهای مختلف و همچنین

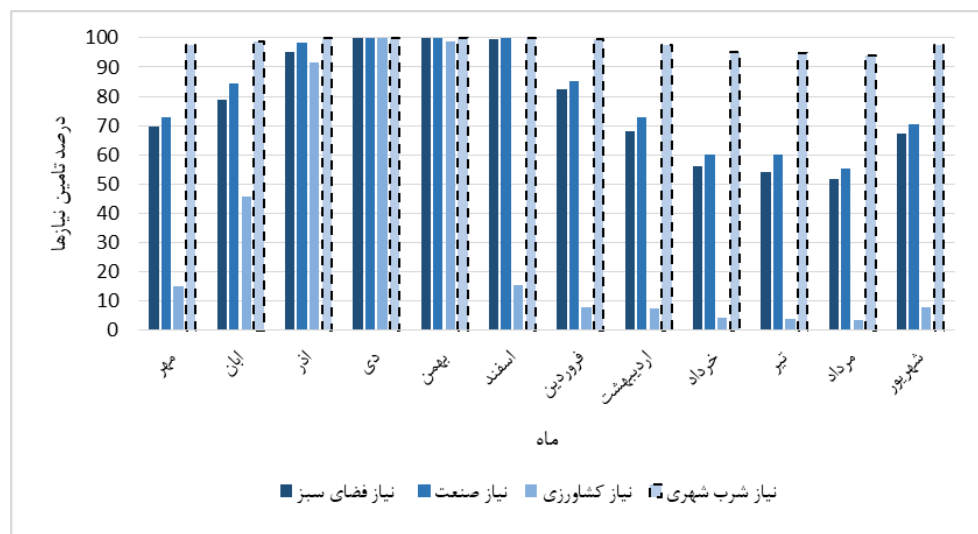
دوره شبیه‌سازی، آب کافی حتی برای تأمین مصارف شرب شهری با مشکل مواجه می‌شود، به طوری که در مردادماه آخرین سال دوره شبیه‌سازی فقط ۷۴ درصد آب شرب مورد نیاز تأمین می‌شود. با توجه به کمبود شدید منابع آبی و اولویت زیاد تأمین نیاز شرب شهری، تأمین نیازهای دیگر در سال‌های پایانی دوره شبیه‌سازی و در ماههای گرم به صفر می‌رسد. شکل ۶ مقدار درصد تأمین نیازها طی دوره شبیه‌سازی در سناریوی مرجع را نشان می‌دهد.

## نتایج و بحث

### سناریوی مرجع

درصد تأمین نیازها به صورت متوسط ماهانه در شکل ۵ نشان داده شده است. بیشترین کمبود در تأمین نیازها در ماههای خرداد، تیر، مرداد و شهریور دیده می‌شود. نیاز کشاورزی به طور متوسط در بیشتر ماهها کمتر از ۲۰ درصد تأمین می‌شود.

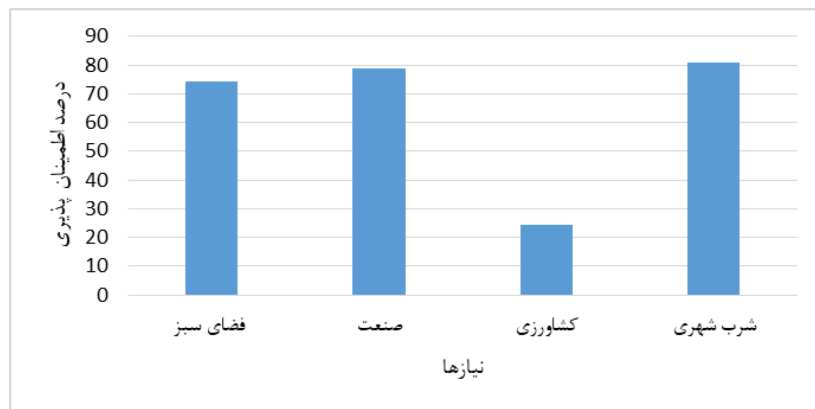
در اواخر دوره شبیه‌سازی با افزایش جمعیت، تأمین نیازها کاهش پیدا می‌کند و در تابستان سال‌های انتهایی



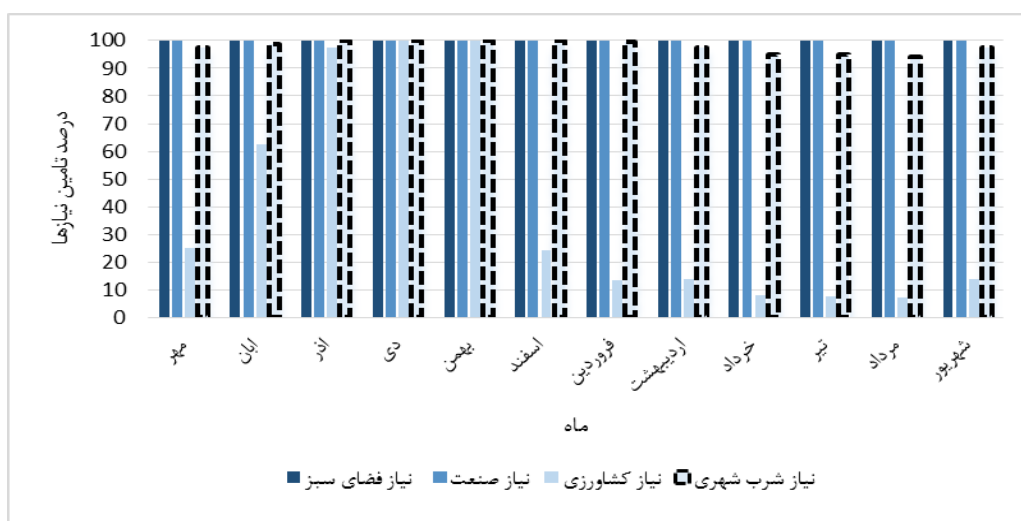
برای مصارف شرب تخصیص داده نشده است. از طرفی، با توجه به اولویت بیشتر برای تأمین نیاز شرب شهری نسبت به سایر نیازها، در همه سناریوها ابتدا نیاز شرب شهری تأمین خواهد شد. میزان تأمین برای نیازهای صنعت و فضای سبز به صورت ۱۰۰ درصد در نظر گرفته شده است، در حالی که با توجه به رشد جمعیت و افزایش چهاربرابری سرانه فضای سبز، سطح فضای سبز از  $64/85$  هکتار در سناریوی مرجع به  $517/2$  هکتار در سال پایانی دوره شبیه‌سازی رسیده است. میزان تأمین نیاز برای مصارف کشاورزی با توجه به افزایش ۲۰ درصدی مقدار آبیاری در این بخش به طور متوسط ۶ درصد افزایش پیدا کرده است. درصد تأمین نیازهای به صورت متوسط ماهانه در شکل ۸ نشان داده شده است.

درصد اعتمادپذیری تأمین نیاز برای نیاز شرب با توجه به اولویت بیشتر  $80/8$  درصد است، بنابراین در بیش از  $80$  درصد ماههای دوره شبیه‌سازی این نیاز به صورت کامل تأمین خواهد شد. نیاز صنعت در منطقه مد نظر حدود  $78$  درصد اوقات به طور کامل تأمین می‌شود و نیاز فضای سبز نیز حدود  $73$  درصد اوقات تأمین خواهد شد. نیاز کشاورزی حدود  $24$  درصد اوقات به طور کامل تأمین می‌شود که این تأمین نیاز در فصول سرد صورت می‌گیرد. شکل ۷ درصد اعتمادپذیری تأمین نیازها در این سناریو را نشان می‌دهد.

سناریوی افزایش مقدار و استفاده از پساب تصفیه شده در این سناریو تأمین نیاز آب شرب در مقایسه با سناریوی مرجع تغییر چندانی نکرده است، زیرا پساب تصفیه شده،



شکل ۷. درصد اعتمادپذیری تأمین نیازهای مختلف در سناریوی مرجع

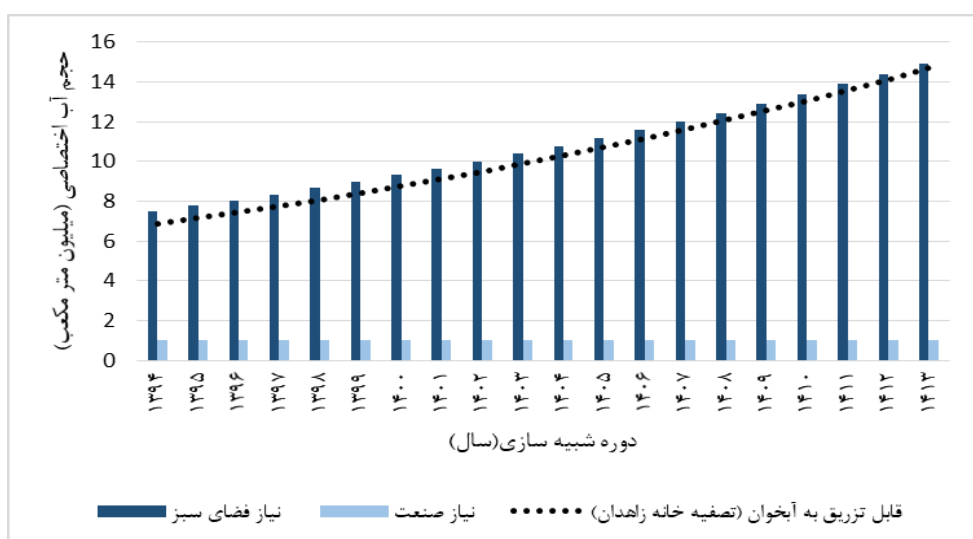


شکل ۸. متوسط ماهانه درصد تأمین نیازهای مختلف در سناریوی افزایش مقدار و استفاده از پساب تصفیه شده

درصدی سرانه مصرف برطرف خواهد شد و تأمین نیاز شرب برای همه ماهها به صورت کامل صورت می‌پذیرد. همچنین، در این سناریو نیاز صنعت و فضای سبز طی دوره شبیه‌سازی به صورت کامل تأمین خواهد شد. در این سناریو تأمین نیاز بخش کشاورزی همچنان به صورت کامل تأمین خواهد شد، ولی نسبت به سناریوی مرجع ۳۵ درصد رشد را نشان می‌دهد. در این سناریو مجموع کل برداشت از منبع آب زیرزمینی طی دوره شبیه‌سازی شده حدود ۴۰۰ میلیون مترمکعب است. متوسط ماهانه درصد تأمین نیازها در این سناریو در شکل ۱۰ نشان داده شده است.

میزان برداشت از منبع آب‌های زیرزمینی در مجموع با حدود ۲ درصد کاهش نسبت به سناریوی مرجع طی دوره شبیه‌سازی به میزان ۵۲۰ میلیون مترمکعب رسیده است. چگونگی تخصیص پساب تصفیه شده در این سناریو در شکل ۹ نشان داده شده است.

**سناریوی بهره‌برداری از خط دوم انتقال آب از چاهنیمه و افزایش سرانه آب شرب مصرفی**  
با بهره‌برداری از خط دوم انتقال آب از چاهنیمه به شهر زاهدان، مشکل تأمین نیاز آب آشامیدنی با وجود افزایش ۲۰



شکل ۹. حجم آب اختصاص یافته برای مصارف صنعت و فضای سبز از پساب تصفیه شده



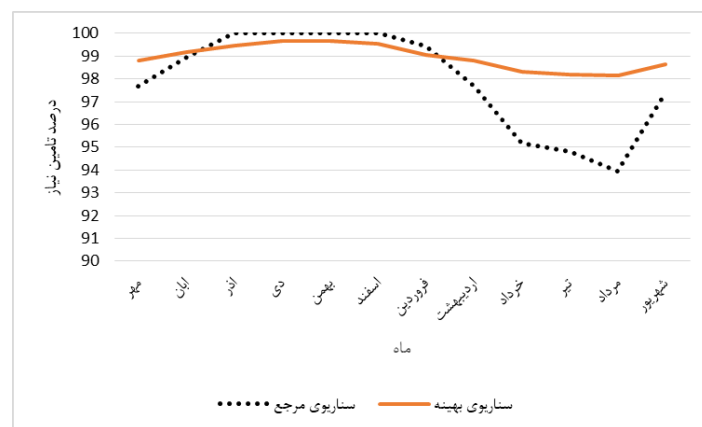
شکل ۱۰. متوسط ماهانه درصد تأمین نیازهای مختلف در سناریوی بهره‌برداری از خط دوم انتقال آب

به تابع هدف، میزان تأمین نیاز شرب شهری در ماههای گرم سال نسبت به سناریوی مرجع افزایش و در فصل سرما کاهش یافته است، این مقادیر به خصوص در سال‌های پایانی محسوس و درخور توجه خواهد بود. شکل ۱۲ مقادیر تأمین نیاز شرب شهری طی دوره شبیه‌سازی برای دو سناریوی مرجع و بهینه را نشان می‌دهد.

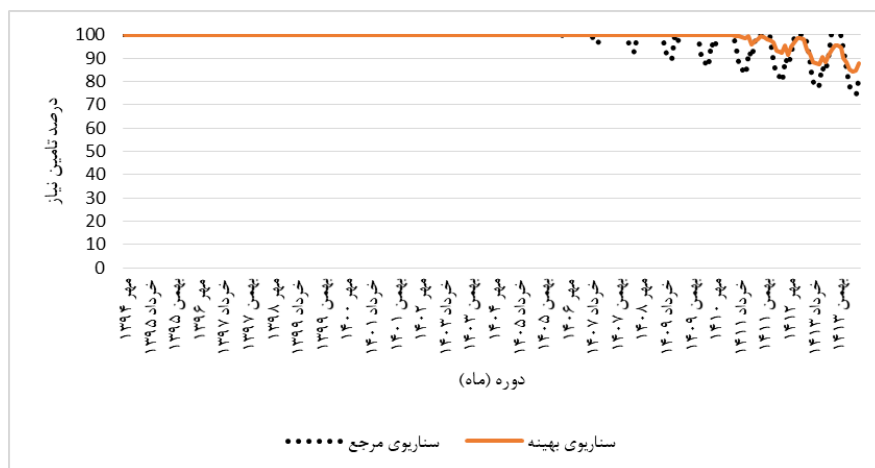
در این سناریو اعتمادپذیری تأمین نیاز برای نیاز شرب با توجه به اولویت بیشتر ۸۲/۵ درصد است. در مجموع، بیش از ۸۲ درصد اوقات نیاز شرب شهری طی دوره شبیه‌سازی به صورت کامل برآورده خواهد شد. نیاز صنعت در منطقه مد نظر ۸۰ درصد اوقات به طور کامل تأمین می‌شود و نیاز فضای سبز نیز حدود ۷۵ درصد اوقات تأمین خواهد شد. نیاز کشاورزی در هیچ ماهی به صورت کامل تأمین نمی‌شود و فقط در دی‌ماه با توجه به نبود نیاز آبی ۱۰۰ درصد است.

#### سناریوی بهینه

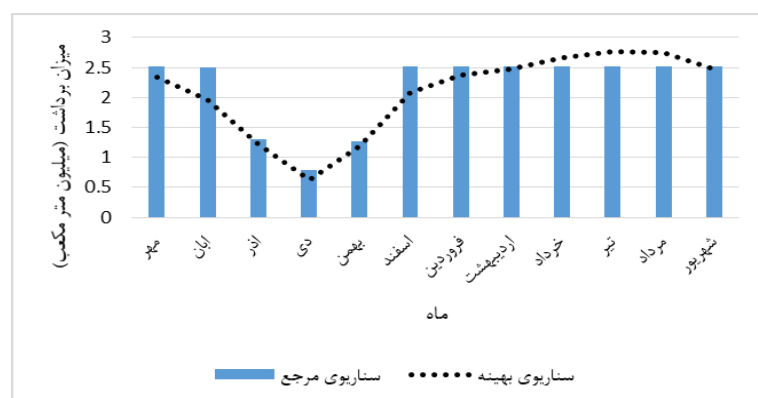
این سناریو بر پایه سناریوی مرجع (شرایط فعلی) تعریف شد و بهره‌برداری از خط دوم انتقال آب و تصفیه پساب در این سناریو اعمال نشده است. در این سناریو با توجه به اولویت زیاد تأمین نیاز شرب شهری، میزان متوسط تأمین نیاز در ماههای مختلف طی دوره شبیه‌سازی در همه ماهها بیش از ۹۸ درصد است. متوسط میزان تأمین نیازهای فضای سبز طی دوره بهینه‌سازی بیش از ۷۶ درصد و برای نیاز صنعت با توجه به ثابت بودن آن طی سال، در همه ماهها ۸۰ درصد است. با توجه به کمبود منابع آبی، برای تأمین نیاز کشاورزی در همه ماه‌ها مقدار زیادی کمبود وجود دارد. شکل ۱۱ متوسط تأمین نیاز شرب شهری برای سناریوی بهینه و سناریوی مرجع را نشان می‌دهد. همان‌طور که در این نمودار نشان داده شده است با توجه



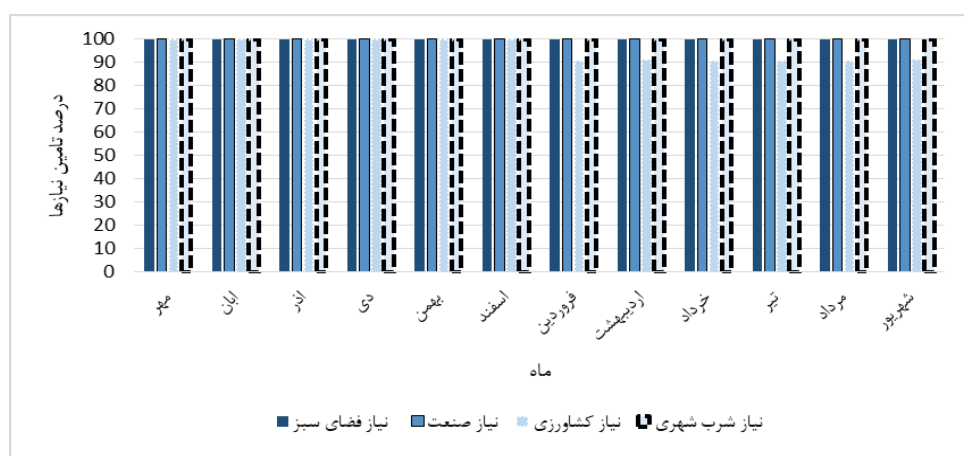
شکل ۱۱. میزان متوسط تأمین نیاز شرب شهری برای سناریوی بهینه و سناریوی مرجع



شرب، نیاز شرب شهری در همه ماههای دوره شبیه‌سازی شده به صورت کامل تأمین می‌شود. همچنین، با توجه به استفاده از پساب تصفیه شده برای تأمین نیازهای بخش صنعت و فضای سبز، با وجود فرض افزایش چهار برابری سرانه فضای سبز، نیاز صنعت و فضای سبز نیز به صورت کامل تأمین می‌شود. شکل ۱۴ درصد تأمین نیازهای مختلف در این سناریو را به صورت متوسط ماهانه، نشان می‌دهد. نیازهای کشاورزی با توجه به فرض افزایش ۲۰ درصدی بهره‌برداری از خط دوم انتقال آب از چاهنیمه‌ها در فصل‌های پاییز و بهار که آب کمتری مورد نیاز است، به صورت کامل تأمین می‌شود. همچنین، این نیاز به طور متوسط در بیشتر ماههای بهار و تابستان که نیاز به آبیاری بیشتر است، بیش از ۹۰ درصد تأمین می‌شود. کمترین مقدار درصد تأمین نیازهای کشاورزی در فروردین‌ماه که نیاز آبیاری بیشتر است، اتفاق می‌افتد.



شکل ۱۳. مقدار متوسط مجموع برداشت ماهانه از منبع آب زیرزمینی برای سناریوی بهینه و مرجع



شکل ۱۴. متوسط ماهانه درصد تأمین نیازهای مختلف برای سناریوی ایده‌آل

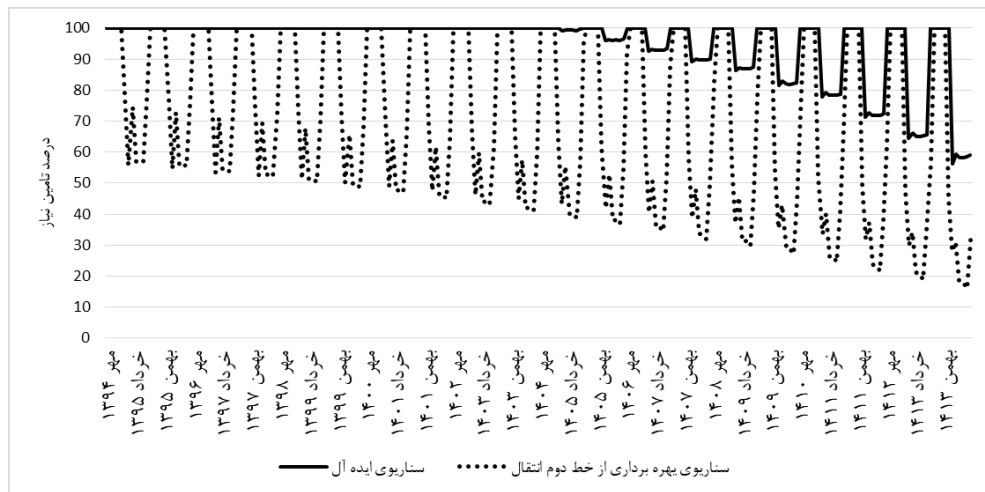
در این سناریو بیش از ۸۳ درصد برداشت از منبع آب‌های زیرزمینی طی دوره برای تأمین نیاز آب شرب شهری بوده است. شکل ۱۳ میزان متوسط برداشت ماهانه از آب زیرزمینی را طی دوره شبیه‌سازی برای دو سناریوی مرجع و بهینه نشان می‌دهد. همان‌طور که در شکل ۱۳ نشان داده شده است، در سناریوی بهینه برای ماههای سرد با کاهش برداشت از منبع آب زیرزمینی و ذخیره آن برای فصول گرم از شدت کمبود آب در ماههای گرم جلوگیری کرده است. مجموع کل برداشت از منبع آب زیرزمینی در طول دوره شبیه‌سازی شده ۵۰۴/۱ میلیون مترمکعب است که نسبت به سناریوی مرجع ۲۶ میلیون مترمکعب کاهش یافته است.

#### سناریوی ایده‌آل (سازگاری)

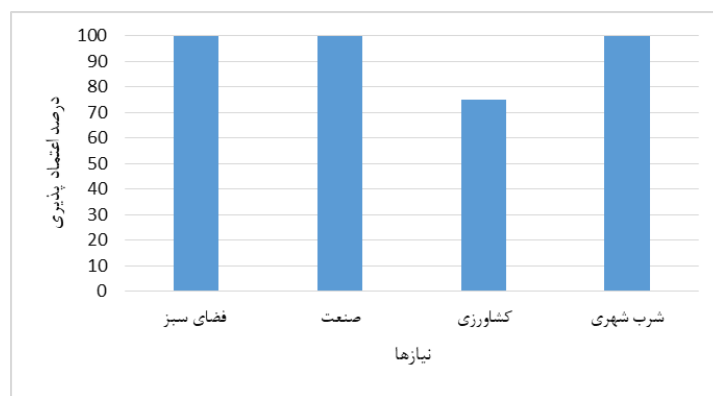
در این سناریو با توجه به بهره‌برداری از خط دوم انتقال آب از چاهنیمه‌ها، با وجود افزایش ۲۰ درصدی سرانه

در این سناریو میزان کل حجم آب برداشتی از منابع آب زیرزمینی حدود ۴۳۸ میلیون مترمکعب است که نسبت به سناریوی مرجع، حدود ۹۲ میلیون مترمکعب و نسبت به سناریوی بهینه، ۶۵ میلیون مترمکعب کاهش داشته است. شکل ۱۷ مجموع حجم برداشتی از منابع آب‌های زیرزمینی را برای سناریوهای مختلف نشان می‌دهد. مطابق شکل ۱۷، برداشت آب در سناریوهای بهینه و ایده‌آل در سال‌های ابتدایی کمتر از سناریو مرجع است و در سال‌های پایانی بیشتر از سناریو مرجع شده و به بیشترین میزان برداشت سالانه از منابع آب زیرزمینی خواهد رسید. همچنین، در سناریوی ایده‌آل با توجه به بهره‌برداری از خط دوم انتقال آب و اولویت تأمین آب از این منبع، در سال‌های ابتدایی حجم آب برداشتی از منابع آب زیرزمینی کم است و با افزایش جمعیت، این مقدار افزایش می‌یابد.

در سناریوی ایده‌آل و سناریوی سوم (بهره‌برداری از خط دوم انتقال آب از چاهنیمه) نیازهای شرب شهری، صنعت و فضای سبز به صورت کامل تأمین می‌شوند. با تخصیص بهینه و استفاده از پساب تصفیه شده برای مصارف صنعت و فضای سبز، نیازهای کشاورزی در این سناریو نسبت به سناریوی بهره‌برداری از خط دوم انتقال آب از چاهنیمه، به میزان درخور توجهی بهبود می‌یابد. شکل ۱۵ درصد تأمین نیازهای کشاورزی طی دوره شبیه‌سازی برای این دو سناریو را نشان می‌دهد. میزان اعتمادپذیری تأمین نیازهای شرب، صنعت و فضای سبز در این سناریو ۱۰۰ درصد است. به بیان دیگر، در همه ماههای دوره شبیه‌سازی این نیازها به صورت کامل تأمین خواهند شد. همچنین، میزان اعتمادپذیری برای نیاز کشاورزی ۷۵ درصد است. شکل ۱۶ میزان اعتمادپذیری تأمین نیازها در این سناریو را نشان می‌دهد.



شکل ۱۵. درصد تأمین نیاز کشاورزی طی دوره شبیه‌سازی برای دو سناریوی ایده‌آل و بهره‌برداری از خط دوم انتقال



شکل ۱۶. میزان اعتمادپذیری تأمین نیازهای مختلف در سناریوی مرجع



شکل ۱۷. میزان برداشت از منابع آب زیرزمینی در سناریوهای مرجع، بهینه و ایده‌آل

- [2]. Hashemi Monfared A, Azizyan Q, Shaghouzai M. Multi-objective Optimization of Utilization of Zahedan Water and Groundwater Resources and by Using Imperial Competition Algorithm. Master's Thesis, University of Sistan & Baluchestan, Zahedan, 2017. [Persian]
- [3]. Karamoz M, Kerachian R. Planning and Quality Management of Water Resources Systems. 5<sup>th</sup> ed. Tehran; Amirkabir University of Technology Press: 1390. [Persian]
- [4]. Bozorg Haddad O, Seifollahi-Aghmiuni S. An introduction to uncertainty analysis in water resources systems. 1<sup>st</sup> ed. Tehran; University of Tehran Press: 1394. [Persian]
- [5]. Nabi nejad Sh, Mousavi S J. Simulation-optimization for Basin-wide Optimum Water Allocation Considering System's Performance and Equity Measures, J. of Water and Wastewater, 2013, 24(1): 70-79. [Persian]
- [6]. Taghian M, Rosbjerg D, Haghghi A, Madsen H. Optimization of Conventional Rule Curves Coupled with Hedging Rules for Reservoir Operation. Water Resources Planning and Management, 2014, 140(1): 693-698.
- [7]. Vonk E, Xu Y P, Booij M J, Zhang X, Augustijn D C. Adapting multireservoir operation to shifting patterns of water supply and demand. Water resources management, 2014, 28(3): 625-643.
- [8]. Fowe T, Nouiri I, Ibrahim B, Karambiri H, Paturel J E, OPTIWAM: an intelligent tool for optimizing irrigation water management in coupled reservoir-groundwater systems, Water Resources Management, 2015, 29(10): 3841-3861.
- [9]. Ahmadianfar I, Adib A, Taghian M, Haghghi A. Optimization Operation from Storage Dams Using Non-Dominated Sorting Genetic Algorithm, J. of Irrigation Science and Engineering. 2015, 39(2): 89-100. [Persian]

### نتیجه‌گیری

در پژوهش حاضر بهره‌برداری تلفیقی بهینه از منابع آب‌های زیرزمینی و انتقالی بررسی شد. برای شبیه‌سازی منابع آب منطقه از مدل شبیه‌ساز WEAP استفاده شد. همچنین، از الگوریتم تک‌هدف PSO برای بهینه‌سازی برداشت از منبع آب‌های زیرزمینی با هدف حداقل‌سازی برداشت از این منبع و نیز حداقل‌سازی عدم تأمین نیازها استفاده شد. نتایج پژوهش حاضر نشان داد در سال‌های انتهایی دوره شبیه‌سازی با بهینه‌سازی تخصیص منابع آب، کاهش برداشت از منابع آب‌های زیرزمینی و ذخیره‌سازی آن در ماه‌های سرد سال، می‌توان از بروز تنش آبی شدید برای تأمین نیازهای شرب در ماه‌های گرم سال جلوگیری کرد. همچنین، نتایج سناریوی سازگاری نشان داد با بهره‌برداری از خط دوم انتقال آب، استفاده از پساب تصفیه‌شده و تغییر روش آبیاری به قطراهای می‌توان با وجود افزایش چهاربرابری سرانه فضای سبز و افزایش ۲۰ درصدی سرانه آب شرب شهری، می‌توان نیازهای شرب شهری، صنعت و فضای سبز را به صورت کامل تأمین کرد. درصد تأمین نیاز در بخش کشاورزی نیز ۶۲/۱۵ درصد ۹۵/۵۴ نسبت به سناریوی مرجع بهبود یافت و به مقدار درصد رسید. میزان برداشت از منابع آب‌های زیرزمینی نیز ۱۷ درصد نسبت به سناریوی مرجع کاهش یافت.

### منابع

- [1]. Nahtani M, Sarhadi M. The effect of drought on quantity and quality of groundwater in Zahedan plain. Master's Thesis, University of Zabol, zabol, 2016. [Persian]

- [10]. Afshar M H, Rezaee Sangdehi S A, Moeini R. Ant Colony Optimization Algorithms for Optimal Operation of Reservoirs: A Comparative Study of Four Algorithms. *Ferdowsi Civil Engineering journal*. 2014, 25(2). [Persian]
- [11]. Li W K, Wang W L, Li L, Optimization of Water Resources Utilization by Multi-Objective Moth-Flame Algorithm. *Water Resources Management*. 2018, 32(10).
- [12]. Azadnia A, Zahraei B. PSO optimization algorithm in multi-objective optimization operation of reservoir. Fifth National Congress of Civil Engineering. 4-6may2010, Mashhad Ferdows University. [Persian]
- [13]. Me'raj H, Valipoor R ,Meraji s. Diversion dams size optimization system based on risk using PSO algorithm. *Sharif Journal Civil Engineering*. 1385, 35(1). [Persian]
- [14]. Khashei- Siuki, A, Ghahraman B, Kochakzade, M. Determination of Optimal Crop Pattern to Prevent the Water Table Drawdown Using PSO Algorithm. *Iran Water Research Journal*, 2014, 8(14). [Persian]
- [15]. Hojjati A, Monad. M, Faridhosseini A, Mohammadi M. Application and comparison of NSGA-II and MOPSO in multi-objective optimization of water resources systems. *Journal of Hydrology and Hydromechanics*. 2018, 66(3): 323-329.
- [16]. Shenava N, Shourian M. Optimal Reservoir Operation with Water Supply Enhancement and Flood Mitigation Objectives Using an Optimization-Simulation Approach. *Water resources management*. 2017, 32(13): 4393-4407.
- [17]. Balavalikar S, Nayak P, Shenoy N, Nayak K. Particle swarm optimization based artificial neural network model for forecasting groundwater level in Udupi district, Conference Proceedings, 2018, 1952(1).
- [18]. Wan W, Guo X, Lei X, Jiang Y, Wang H. A Novel Optimization Method for Multi-Reservoir Operation Policy Derivation in Complex Inter-Basin Water Transfer System. *Water Resources Management*. 2018, 32(1): 31-51.
- [19]. Mousavi S J, Anzab N R, Asl-Rousta B, Kim J H. Multi-objective optimization-simulation for reliability-based inter-basin water allocation. *Water Resources Management*. 2017, 31(11): 3445-3464.
- [20]. Höllermann B, Giertz S, Diekkrüger B. Benin 2025-Balancing future water availability and demand using the WEAP Water Evaluation and Planning'System. *Water resources management*. 2010, 24(13): 3591-3613.
- [21]. Mutiga J K, Mavengano S T, Zhongbo S, Woldai T, Becht R. Water allocation as a planning tool to minimise water use conflicts in the Upper Ewaso Ng'iro North Basin, Kenya. *Water resources management*. 2010, 24(14); 3939-3959.
- [22]. Azhdari Moghadam M, Abasi Q. Investigation on effects of entering Chahname water into Zahedan plain. Master's Thesis, University of Sistan & Baluchestan, Zahedan, 2014. [Persian]
- [23]. Hargreaves, G.H. 1994. Defining and using reference evapotranspiration. *J. of Irrig. and Drain. Eng., ASCE*, 120(6): 1132-1139.
- [24]. Ehsani A, Arzani H, Farahpour M, Ahmadi H, Jafari M, Akbarzadeh M. Evapotranspiration Estimation Using Climatic Data, Plant Characteristics and Cropwat 8.0 Software (Case Study: Steppic Region of MarkaziProvince, Roodshore Station). *Iranian journal of Range and Desert Reseach*. 2012, 19(1). [Persian]
- [25]. Aghakhani A, Sadani M, Faraji M, Boniadi Nejad Gh R. Comparison of methods to estimate the industrial water demand based on the number of industrial units, number of employees, total area and the infrastructure area. 2010, 6(2); 357-364. [Persian]
- [26]. Montalvo I, Izquierdo J, Pérez R, Tung M. Particle swarm optimization applied to the design of water supply systems. *Computers & Mathematics with Applications*. 2008, 56(3):769-776.
- [27]. Baltar A M, Fontane D G. Use of multiobjective particle swarm optimization in water resources management. *Journal of water resources planning and management*. 2008, 134(3): 257-265.